

CHAPITRE 2

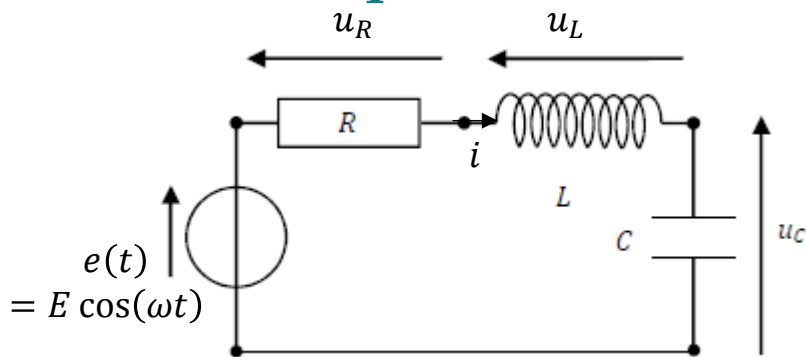
CIRCUIT *RLC* EN RSE - RÉSONANCE



A. RSE

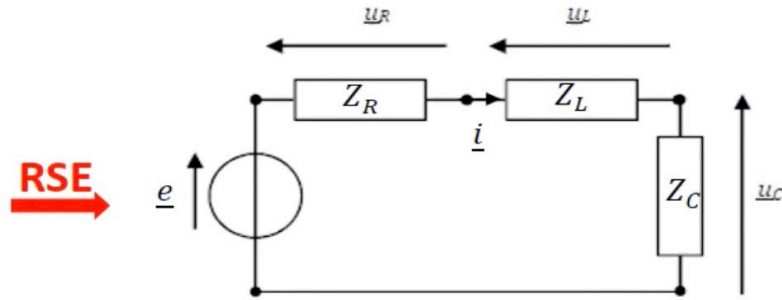
A.1. Tension aux bornes du condensateur

A.1.a. Équation d'évolution



$$LC \frac{d^2 u_C(t)}{dt^2} + RC \frac{du_C(t)}{dt} + u_C(t) = e(t)$$

A.1.b. Solution en RSE : tension complexe



$$\underline{u_C} = \frac{Z_C}{Z_C + Z_L + Z_R} \underline{e} = \frac{1}{1 - LC\omega^2 + jRC\omega} \underline{e}$$

Posons **pulsation réduite** $x = \omega/\omega_0$

$$\underline{u_C} = \frac{\underline{e}}{1 - x^2 + j\frac{x}{Q}}$$

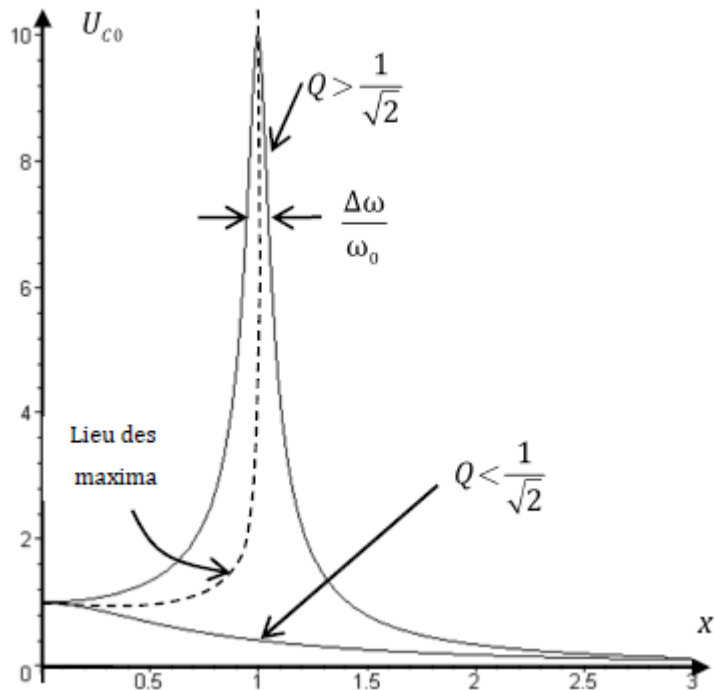
A.1.c. Amplitude

$$U_{C0} = |\underline{u_C}| = \frac{E}{\sqrt{(1 - x^2)^2 + \frac{x^2}{Q^2}}}$$

Posons $f(x) = (1 - x^2)^2 + \frac{x^2}{Q^2}$

© Si $Q > \frac{1}{\sqrt{2}}$: 2 extréma en $x = 0$ et $x = \sqrt{1 - \frac{1}{2Q^2}}$

© Si $Q < \frac{1}{\sqrt{2}}$: 1 extrémum en $x = 0$



A.1.d. Système faiblement amorti $Q > \frac{1}{\sqrt{2}}$: résonance en tension du condensateur

U_{C0} maximale en $\omega_r = \omega_0 \sqrt{1 - \frac{1}{2Q^2}}$ (pulsation de **résonance**) : **résonance**

$$U_{C0\max} = \frac{E}{\sqrt{(1 - x_r^2)^2 + \frac{x_r^2}{Q^2}}} \longrightarrow \boxed{U_{C0\max} = \frac{EQ}{\sqrt{1 - \frac{1}{4Q^2}}}}$$

Remarque :

- Si $Q < \frac{1}{\sqrt{2}}$ (système très amorti) : U_{C0} décroît de façon monotone, **pas de résonance**
- Si $Q \gg 1$: $\omega_r \approx \omega_0$, $U_{C0\max} \approx EQ \gg E$: surtension de résonance

A.1.e. Largeur de résonance

Ⓢ Définition : $U_{C0}(\omega_{1,2}) = \frac{U_{C0\max}}{\sqrt{2}} \quad (\omega_1 < \omega_2), \Delta\omega \stackrel{\text{def}}{=} \omega_2 - \omega_1$

$$\frac{E}{\sqrt{(1 - x_{1,2}^2)^2 + \frac{x_{1,2}^2}{Q^2}}} = \frac{1}{\sqrt{2}} \frac{EQ}{\sqrt{1 - \frac{1}{4Q^2}}} \Rightarrow x_{1,2} = \sqrt{1 + \frac{1}{2Q^2} (\pm \sqrt{4Q^2 - 1} - 1)}$$

Ⓢ $Q \gg 1$:

$$\pm \sqrt{4Q^2 - 1} - 1 \approx \pm 2Q \Rightarrow x_{1,2} \approx \sqrt{1 \pm 1/Q}. \text{ Or } (1 + \varepsilon)^n \approx 1 + n\varepsilon \quad (\varepsilon \ll 1)$$

$$\text{Alors } x_{1,2} \approx 1 \pm \frac{1}{2Q} \Rightarrow \Delta x = \frac{1}{Q} \longrightarrow \text{Pour } Q \gg 1 : \Delta\omega \approx \frac{\omega_0}{Q}$$

$$\underline{u}_C = \underline{e} / (1 - x^2 + j x / Q)$$

A.1.f. Phase

⊗ φ_C par rapport à $e(t) = \arg(\underline{u}_C)$

- Méthode 1 : $\varphi_C = \arg(\underline{e}) - \arg(1 - x^2 + j x / Q)$

Remarque : $\varphi = \arg(a + bj)$ $\varphi \in]-\pi, \pi]$ $\left\{ \begin{array}{ll} \text{si } a > 0, & \varphi = \arctan(b/a) \\ \text{si } a < 0 \text{ et } b > 0, & \varphi = \pi + \arctan(b/a) \\ \text{si } a < 0 \text{ et } b < 0, & \varphi = \arctan(b/a) - \pi \end{array} \right.$

→

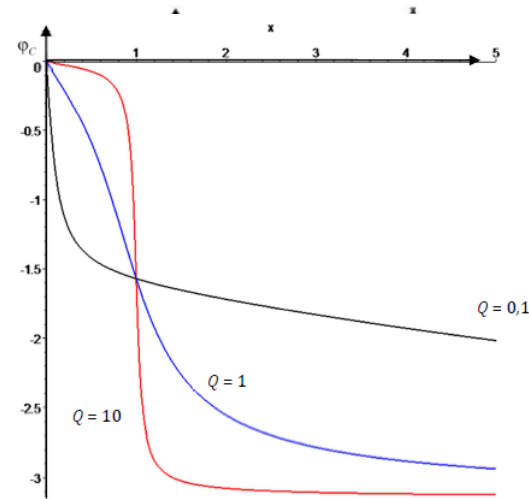
$$\begin{aligned} \text{Si } x < 1 : \varphi_C &= -\arctan \frac{x}{Q(1-x^2)} \\ \text{Si } x > 1 : \varphi_C &= -\pi - \arctan \frac{x}{Q(1-x^2)} \\ \text{Si } x = 1 : \varphi_C &= -\pi/2 \end{aligned}$$

- Méthode 2 :

$$\underline{u_C} = \frac{e\left(-\frac{jQ}{x}\right)}{1 + jQ\left(x - \frac{1}{x}\right)} \Rightarrow \boxed{\varphi_C = -\frac{\pi}{2} - \arctan Q\left(x - \frac{1}{x}\right)}$$

@ Cas limites :

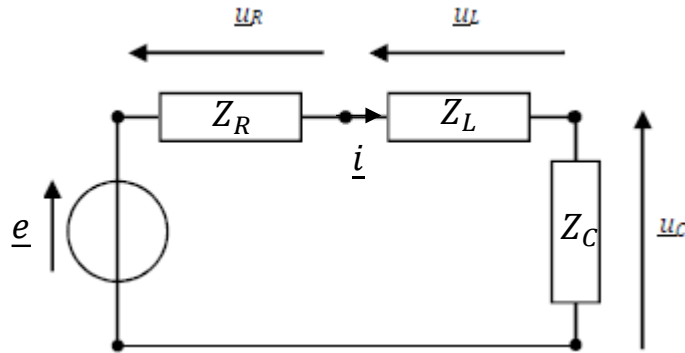
- À BF ($x \rightarrow 0$) : $\varphi_C \rightarrow 0$
- À HF ($x \rightarrow +\infty$) : $\varphi_C \rightarrow -\pi$



- Plus Q est **grand**, plus la **transition** de 0 à $-\pi$ est **brutale**.

A.2. Intensité dans le circuit

A.2.a. Intensité complexe



$$\underline{i} = \frac{\underline{e}}{Z_C + Z_L + Z_R} = \frac{\underline{e}}{\frac{1}{jC\omega} + jL\omega + R}$$

$$Q = L\omega_0/R$$

$$\underline{i} = \frac{\underline{e}}{R \left[1 + jQ \left(x - \frac{1}{x} \right) \right]}$$

A.2.b. Résonance en intensité

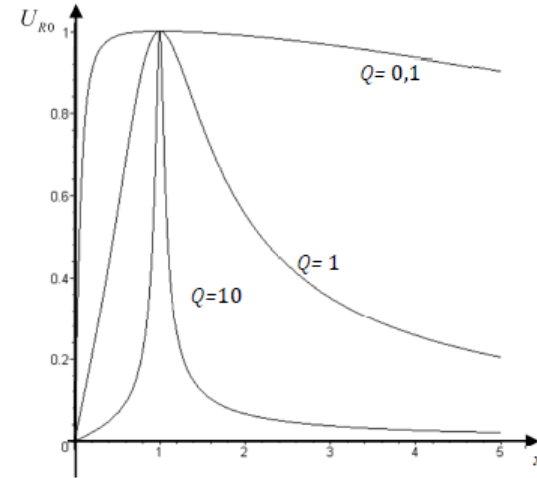
@ Amplitude : $I = |\underline{i}| = \frac{E}{R\sqrt{1+Q^2\left(x-\frac{1}{x}\right)^2}}$

➔ **Résonance quand $x = 1$ ($\omega_r = \omega_0$), $\forall Q : I_{\max} = E/R$**

@ Largeur de résonance :

$$\Rightarrow \frac{E}{R\sqrt{1+Q^2\left(x-\frac{1}{x}\right)^2}} = \frac{E}{R\sqrt{2}}$$

$$\Rightarrow 1 + Q^2\left(x - \frac{1}{x}\right)^2 = 2 \Rightarrow Q\left(x - \frac{1}{x}\right) = \pm 1 \Rightarrow \Delta x = x_2 - x_1 = \frac{1}{Q}$$



A.2.c. Phase

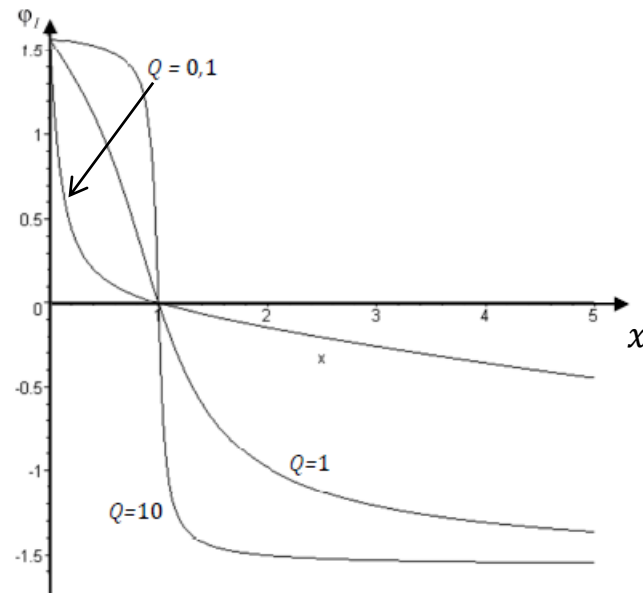
$$\varphi_i = \arg(\underline{i}) = \arg\left(\frac{\underline{e}}{R\left[1 + jQ\left(x - \frac{1}{x}\right)\right]}\right) = -\arctan\left(Q\left(x - \frac{1}{x}\right)\right)$$

@ Cas limites :

- À BF : $\varphi_i \rightarrow \pi/2$
- À HF : $\varphi_i \rightarrow -\pi/2$
- $x = 1 : \varphi_i = 0, \forall Q$

Remarque :

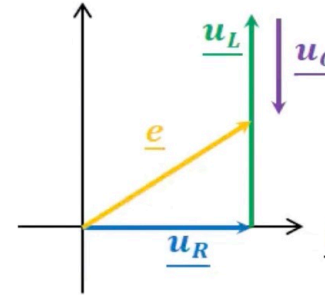
- $x_{1,2} : x - \frac{1}{x} = \pm \frac{1}{Q} \Rightarrow \varphi_i(x_1) = \frac{\pi}{4}, \varphi_i(x_2) = -\frac{\pi}{4}$
- $Z_C = \frac{\underline{u}_C}{\underline{i}} = \frac{1}{jC\omega} \Rightarrow \underline{i} = jC\omega \underline{u}_C \Rightarrow \varphi_i = \frac{\pi}{2} + \varphi_C$



A.2.d. Construction de Fresnel

Ⓢ $\underline{e} = \underline{u}_R + \underline{u}_L + \underline{u}_C$

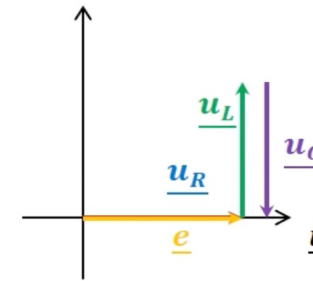
avec $\underline{u}_R = R\underline{i}$, $\underline{u}_C = \frac{1}{jC\omega}\underline{i}$, $\underline{u}_L = jL\omega\underline{i}$



Ⓢ À la **résonance**

$$\omega_r = \omega_0 = \frac{1}{\sqrt{LC}} \Leftrightarrow L\omega_0 = \frac{1}{C\omega_0}$$

➡ $\underline{Z} = R + \frac{1}{jC\omega_0} + jL\omega_0 = R + jL\omega_0 - \frac{j}{C\omega_0} = \underline{R}$




A.3. Résonance de puissance

- Ⓢ La **puissance fournie** par le **générateur** est **totale**ment dissipée dans **R** (valeur moyenne) :

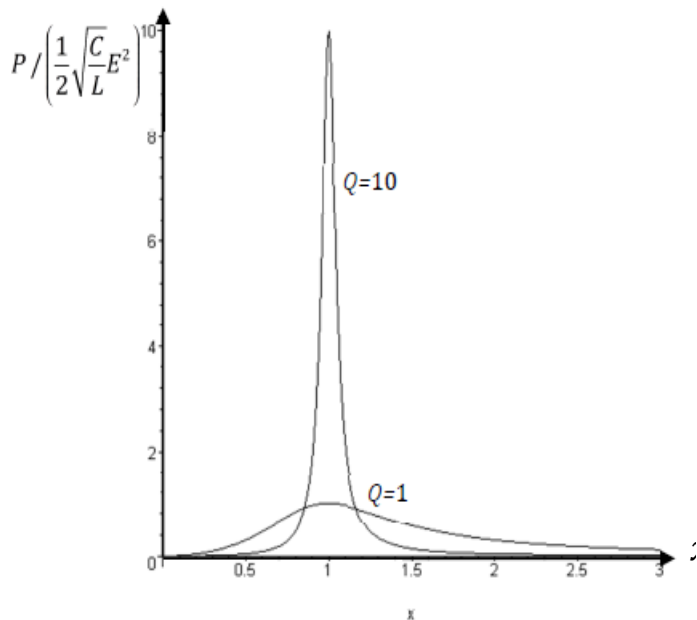
$$\mathcal{P} = Ri_{\text{eff}}^2 = R \frac{I^2}{2} = \frac{E^2}{2R} \cdot \frac{1}{1 + Q^2 \left(x - \frac{1}{x}\right)^2}$$

- Ⓢ Influence de $Q(R)$ en supposant L, C et E fixées

$$Q = \frac{1}{R} \sqrt{\frac{L}{C}}$$


$$\mathcal{P} = \frac{E^2}{2} \sqrt{\frac{C}{L}} \frac{Q}{1 + Q^2 \left(x - \frac{1}{x}\right)^2}$$

➔ **Résonance** quand $\omega_r = \omega_0, \forall Q : \mathcal{P}_{\max} = \frac{E^2}{2} \sqrt{\frac{C}{L}} Q$



Ⓢ Largeur à **mi**-hauteur

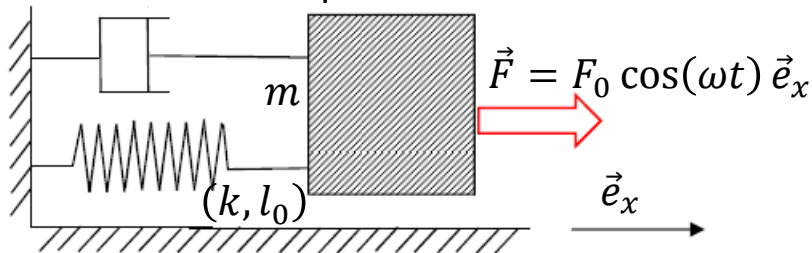
$$\Delta_{1/2}\omega = \omega_2 - \omega_1 : \mathcal{P}(\omega_{1,2}) = \frac{\mathcal{P}_{\max}}{2}$$

$$\Rightarrow Q^2 \left(x - \frac{1}{x} \right)^2 = 1 \quad \Rightarrow \quad \Delta_{1/2}\omega = \frac{\omega_0}{Q}$$

B. OSCILLATEUR MÉCANIQUE EN RSE

B.1. Position du problème

Amortissement visqueux λ



Force de frottement visqueux : $\vec{f} = -\lambda \vec{v}$

Ⓢ PFD sur x : $m \frac{d^2 x}{dt^2} = F - \lambda \frac{dx}{dt} - k(l - l_0)$

On note $\xi = l - l_0$, $\omega_0 = \sqrt{k/m}$, $Q = m\omega_0/\lambda$

→
$$\frac{d^2 \xi}{dt^2} + \frac{\omega_0}{Q} \frac{d\xi}{dt} + \omega_0^2 \xi = \frac{F_0}{m} \cos(\omega t)$$

Ⓢ Rappel :
$$\frac{d^2 u_c(t)}{dt^2} + \frac{\omega_0}{Q} \frac{du_c(t)}{dt} + \omega_0^2 u_c(t) = \omega_0^2 e(t)$$

B.2. Résonance en déplacement

@ En **RSE** : $\xi(t) = \xi_0 \cos(\omega t + \varphi_\xi)$

$$\longrightarrow \underline{\xi} = \frac{F_0}{m} \cdot \frac{1}{\omega_0^2 - \omega^2 + j \frac{\omega_0 \omega}{Q}}$$

$$x = \omega / \omega_0 \rightarrow \underline{\xi} = \frac{F_0}{m\omega_0^2} \cdot \frac{1}{1 - x^2 + j\frac{x}{Q}}$$

$$\Rightarrow \xi_0 = |\underline{\xi}| = \frac{F_0}{m\omega_0^2 \sqrt{(1 - x^2)^2 + \frac{x^2}{Q^2}}}$$

Résonance : même que u_c (voir p46 du poly)

🕒 Cas limites :

- À HF $\omega \rightarrow +\infty : \xi_0 \rightarrow 0 : m$ **ne peut pas suivre** l'excitation de F
- À BF $\omega \rightarrow 0 : \xi_0 \rightarrow \frac{F_0}{m\omega_0^2} : m$ **peut suivre exactement** les oscillations de F

B.3. Résonance en vitesse

$$v(t) = \frac{dx}{dt} = \frac{d\xi}{dt} \rightarrow \underline{v} = j\omega \underline{\xi} \longrightarrow \underline{v} = \frac{F_0 Q}{m\omega_0} \cdot \frac{1}{1 + jQ \left(x - \frac{1}{x} \right)}$$

(Même forme que \underline{i})

B.4. Résonance en puissance

Puissance instantanée fournie par la force \vec{F} : $\mathcal{P}(t) = F(t) \times v(t)$

$$\Rightarrow \langle \mathcal{P}(t) \rangle = \frac{1}{2} \text{Re}(\underline{F} \cdot \underline{v}^*) = \frac{F_0^2 Q}{2m\omega_0} \cdot \frac{1}{1 + Q^2 \left(x - \frac{1}{x} \right)^2}$$

Exercice : $P = \lambda \langle v^2 \rangle$

C. COMPLÉMENTS

C.1. Régime transitoire

$$RLC : \frac{d^2 u_C(t)}{dt^2} + \frac{\omega_0}{Q} \frac{du_C(t)}{dt} + \omega_0^2 u_C(t) = \omega_0^2 e(t)$$

$$u_C(t) = u_{ch}(t) + u_{cp}(t) \quad \left\{ \begin{array}{l} u_{cp}(t) = u_{C,RSE} = U_{C0} \cos(\omega t + \varphi_C) \\ \frac{d^2 u_{ch}}{dt^2} + \frac{\omega_0}{Q} \frac{du_{ch}}{dt} + \omega_0^2 u_{ch} = 0 \end{array} \right.$$

⊗ **Pseudo-périodique** $\left(Q > \frac{1}{2}\right) : u_{ch}(t) = \exp(-t/\tau)[\alpha \cos(\Omega t) + \beta \sin(\Omega t)]$

$\Omega = \omega_0 \sqrt{1 - \frac{1}{4Q^2}}$: pseudo-pulsation, $\tau = \frac{2L}{R}$, α, β constantes dépendantes des C.I.

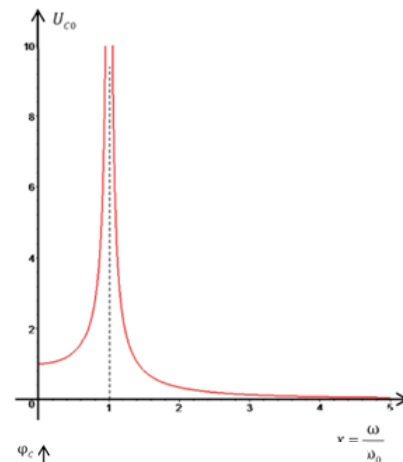
Le RSE est atteint après environ $QT_0 \forall C.I.$

C.2. Cas d'un oscillateur non dissipatif ($R = 0, \lambda = 0$)

$$\frac{d^2 u_C(t)}{dt^2} + \omega_0^2 u_C(t) = \omega_0^2 e(t)$$

Ⓢ Solution en RSE : $\underline{u_C}(t) = \frac{\omega_0^2 \underline{e}(t)}{\omega_0^2 - \omega^2}$

→ $u_C(t) = \frac{\omega_0^2 E}{|\omega_0^2 - \omega^2|} \cos(\omega t + \varphi_C)$ avec $\varphi_C = \begin{cases} 0 & \omega < \omega_0 \\ \pi & \omega > \omega_0 \end{cases}$



Ⓢ Régime transitoire : $u_{Ch} = \alpha \cos(\omega_0 t) + \beta \sin(\omega_0 t)$

Remarque : En l'absence de dissipation ($Q \rightarrow +\infty$)

Cette solution n'est jamais négligeable. On **n'arrive jamais en RSE**.

